<u>Определение геометрической погрешности шлифования торцов</u> профилированным и ориентированным инструментом

Предлагается методика определения торцового биения, непрямолинейности профиля, неплоскостности и неперпендикулярности торца к оси детали, прошлифованной профилированным и ориентированным инструментом. Разработаны уравнения для определения геометрической погрешности обработки известными и новым способом шлифования торцов цилиндрических деталей

При двустороннем шлифовании торцов цилиндрических деталей ориентированными кругами, плоские торцы которых не параллельны обрабатываемым, появляется геометрическая погрешность формообразования [1]. Предложена методика расчета ее и способ шлифования [2], уменьшающий геометрическую погрешность.

Координаты точек прошлифованной поверхности торца детали определяем из условия равенства, для точек касания, радиусов векторов инструмента и детали ($r_u = r_{uq}$) в его системе координат [1]. Из этого условия находим координаты Z_q точек торцовой поверхности и определяем ее погрешность. Представим координаты точек торцовой поверхности Z_q (n,k) цилиндрической детали 1_K с круговой направляющей (рис. 1) в виде матрицы:

$$Z_{q}(n,k) = \begin{vmatrix} Z_{q}0,0 & Z_{q}0,1 & \dots & Z_{q}0,k \\ Z_{q}1,0 & Z_{q}1,1 & \dots & Z_{q}1,k \\ Z_{q}2,0 & Z_{q}2,1 & \dots & Z_{q}2,k \\ \dots & \dots & \dots & \dots \\ Z_{q}n,0 & Z_{q}n,1 & \dots & Z_{q}n,k \end{vmatrix},$$
(1)

где Z_q $0,0=Z_q$ $0,1=.....=Z_q$ 0,k - координата детали, измеряемая вдоль оси Z в центральной точке O_q ; Z_q 1,0, Z_q 1,1 Z_q 1,k - координаты детали, расположенные на окружности радиуса $r=\Delta r \cdot n$, где $\Delta r=r_{max}$ / n_{max} - шаг разбиения в радиальном направлении; r_{max} - максимальный радиус детали, n_{max} - максимальное число разбиений (n=0,1...... n_{max}); Z_q 0,0, Z_q 1,0 Z_q n,0 - координаты детали, расположенные в радиальной плоскости (A-A, рис. 1); $\Delta \theta_q = 2\pi$ / k_{max} - шаг разбиений в угловом направлении, k_{max} - максимальное число разбиений по углу детали ($k=1,2,\ldots,k_{max}$).

При обработке некруглой цилиндрической детали, например, многогранной неперетачиваемой пластины 2_{HK} (рис 1) максимальное число разбиений K_{max} выбирается кратным числу граней пластины. Максимальный радиус детали r_{max} равен радиусу наружного контура пластины для каждого угла θ_q . В матрице (1) для радиусов, выходящих за наружный контур пластины, координаты Z_q =0

Тогда радиус-вектор точки торцевой поверхности детали определяется

$$\bar{r}_{q(n,k)} = \bar{i} \cdot (r \cdot n) \cdot \cos(\theta_q \cdot k) + \bar{j} \cdot (r \cdot n) \cdot \sin(\theta_q \cdot k) + \bar{k} \cdot z_{q(n,k)}$$
 (2)

Для рассматриваемого примера каждый столбец указанной матрицы соответствует полуплоскости, построенной от начала координат в радиальном направлении. Для того чтобы рассмотреть осевую плоскость, необходимо столбцы объединить таким образом, чтобы

$$\theta_q \cdot k_1 = \theta_q \cdot (k_1 + \frac{k_{\text{max}}}{2}) - \pi \tag{3}$$

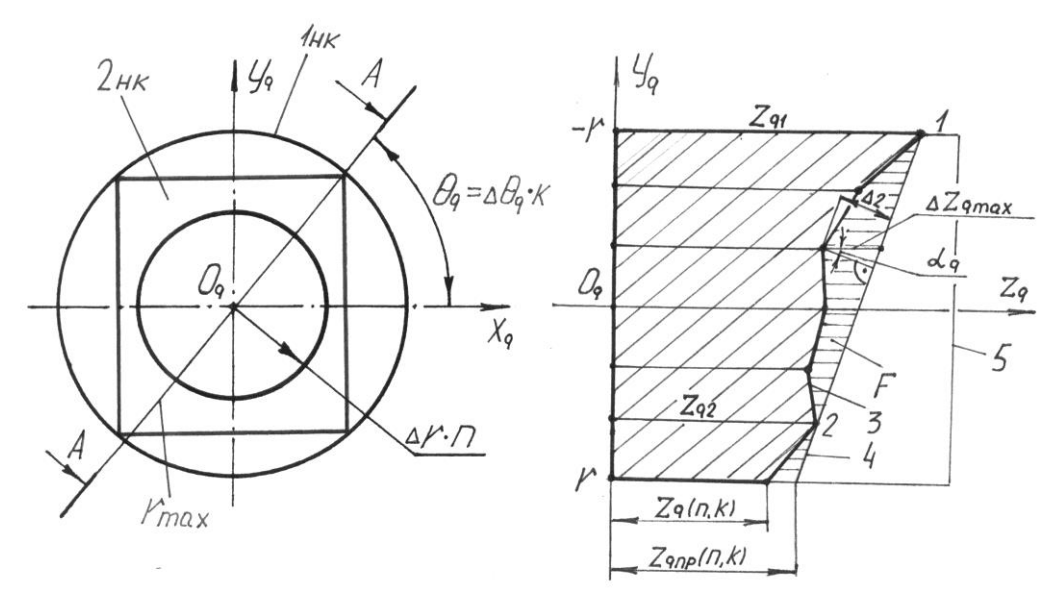


Рисунок 1. Схема торцовой поверхности цилиндрической детали

Геометрическая точность формообразования торцов цилиндрических деталей оценивается торцовым биением Δ_1 , непрямолинейностью профиля Δ_2 , неплоскостностью Δ_3 и неперпендикулярностью торца Δ_4 к оси детали.

Торцовое биение Δ_1 (рис. 2) получается за счет неперпендикулярности торцовой поверхности к базовой оси и отклонений формы торца детали.

$$\Delta_1 = Z_{q \max} - Z_{q \min}, \tag{4}$$

где Z_{qmax} и Z_{qmin} - максимальная и минимальная координаты_точек торцовой поверхности вдоль оси детали, расположенные на окружности радиусом r_q (рис. 1), т.е. одной строки матрицы (1).

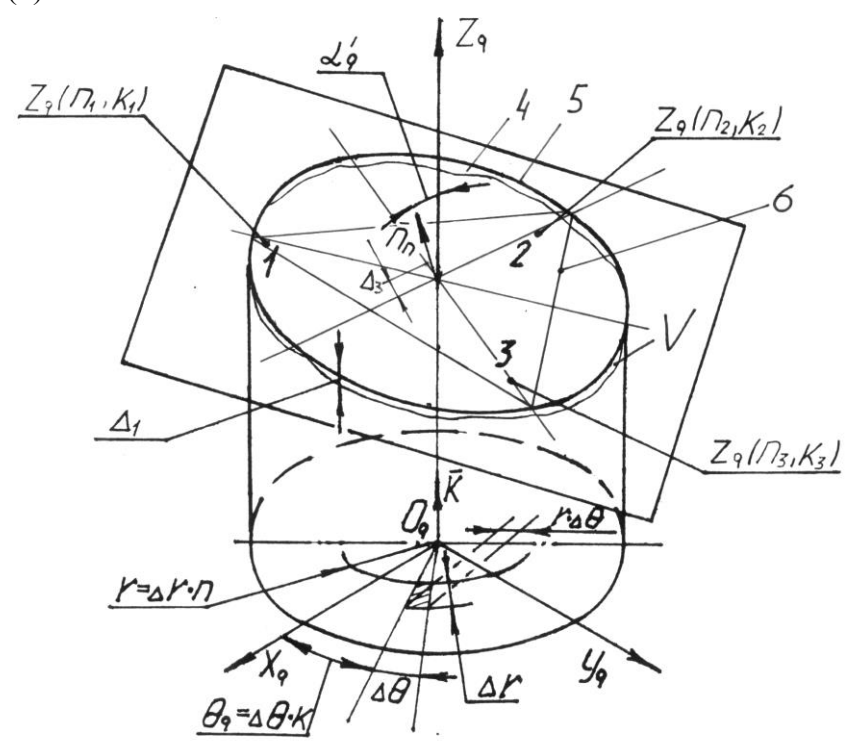


Рисунок 2. Схема определения геометрической погрешности формообразования торца.

Непрямолинейность Δ_2 - наибольшее расстояние от точек действительного профиля 3 до прилегающей прямой 4 (рис. 1). 5 – геометрический профиль.

Выбор прилегающей прямой производят так, чтобы площадь F, заключенная между ней 4 и профилем 3, была минимальной. Точки профиля 3 должны лежать по одну сторону от прямой 4. Это условие будет выполняться в случае, если сумма отрезков, заключенных между профилем и прямой, будет минимальной, так как основание остается постоянным для каждого осевого сечения детали под углом θ_q .

Условия выбора прилегающей прямой

$$\begin{cases} F \approx \sum_{i=1}^{n} (Z_{qnp}(n, k_o) - Z_{q}(n, k_o)) \cdot \Delta r \to \min \\ Z_{np}(n, k_o) \ge Z_{q}(n, k_o) \end{cases} , \tag{5}$$

$$Z_{qnp}(n,k_o) = \frac{Z_{q2} - Z_{q1}}{r_2 - r_1} \cdot (r(n,k_o) - r_1) + Z_q : \frac{Z_{q2} - Z_{q1}}{r_2 - r_1} = tg\alpha_q$$

$$\Delta_2 = \cos\alpha_q (Z_{qnp}(n_o,k_o) - Z_q(n_o,k_o)), \tag{6}$$

 $r_q \cdot (n_o, \, \kappa_o)$ - радиус точки осевого сечения детали с максимальным отклонением от прилегающей прямой.

Неплоскостность Δ_3 - наибольшее расстояние от точек действительной поверхности до прилегающей плоскости 5 (рис. 2).

Прилегающая базовая плоскость определяется по точкам обработанной поверхности таким образом, чтобы объем V, заключенный между базовой и реальной поверхностями, был минимальным, а все точки реальной поверхности лежали по одну сторону от прилегающей плоскости 5.

Условия выбора прилегающей плоскости

$$\begin{cases} V \approx \sum_{k=1}^{n} \left[\sum_{k=1}^{k} (Z_{n,k}(n,k) - Z_{q}(n,k)) \cdot \Delta r \cdot n \cdot \Delta \theta \right] \cdot \Delta r \to \min \\ Z_{n,k}(n,k) \ge Z_{q}(n,k) \end{cases} , \tag{7}$$

где $Z_{nn}(n,k)$ - осевая координата точки прилегающей плоскости, расположенной на радиусе $r=\Delta r\cdot n$ с угловой координатой $\theta_q=\Delta\theta\cdot k$ (рис. 2).

$$\Delta_{3} = \cos \alpha'_{q} \cdot (z_{n, l}(n_{o}, k_{o}) - Z_{q}(n_{o}, k_{o})), \tag{8}$$

где $r_q(n_o, k_o)$ - радиус точки детали с максимальным отклонением от прилегающей плоскости; $\alpha_q{}'$ - угол между нормалью к базовой плоскости и осью Z. (рис. 2), $tg\alpha_q{}'=\overline{k}\cdot\overline{n}\,/\left|\overline{k}\right|\cdot\left|\overline{n}_n\right|,\;\overline{n}$ - вектор нормали, \overline{k} - орт оси Z_q .

При шлифовании круглых цилиндрических деталей прилегающая плоскость 5 (рис. 2) определяется по трем точкам 1, 2, 3 обработанной поверхности, расположенным на трех прямых осевых сечений детали. При обработке некруглых цилиндрических деталей, например, многогранных неперетачиваемых пластин, прилегающая плоскость 5 (рис. 2) определяется тремя точками, расположенными на трех прямых, проходящих через вершины трехгранной пластины 6 и ось детали O_qZ_q . Для четырехгранной пластины 2_{HK} (рис 1) три точки расположены на двух прямых, проходящих через ее вершины.

Неперпендикулярность базовой плоскости к оси детали

$$\Delta_4 = 2r_{\text{max}} \cdot \sin \alpha_q' = 2r_{\text{max}} \cdot \sqrt{1 - \cos^2 \alpha_q'}. \tag{9}$$

При обработке многогранной неперетачиваемой пластины 2_{HK} (рис 1) r_{max} принимается равным максимальному радиусу ее наружного контура.

Выполнено теоретическое исследование геометрической погрешности формообразования торцов цилиндрических деталей ориентированным инструментом.

Исследования на ЭВМ математической модели (4-9) показали, что при шлифовании плоским торцом круга торцов цилиндрических втулок с увеличением углов ориентации ϕ и ψ [1] погрешность увеличивается. Так при ϕ = - 0,09°, ψ = 0,06°, торцовое биение Δ_1 =0,02 мм, непрямолинейность Δ_2 =0,013 мм, неплоскостность Δ_3 =0,18 мм, неперпендикулярность торца Δ_4 = 0,022 мм. При ϕ = - 0,25°, ψ = 0,2° - Δ_1 = 0,036 мм, Δ_2 = 0,03 мм, Δ_3 = 0,033 мм, Δ_4 = 0,038 мм.

Для повышения производительности и точности обработки торцов втулок предложен новый способ двустороннего шлифования профилированными и ориентированными кругами [2], когда оси детали в зону обработки перемещают по дуге окружности радиусом $R_b=R_a$ - r_{qu} , где R_a - радиус окружности, по которой перемещают ось алмазного карандаша при правке, r_{qu} - средний радиус втулки - получена погрешность $\Delta_1=0.01$ мм, $\Delta_2=0.006$ мм, $\Delta_3=0.009$ мм, $\Delta_4=0.012$ мм, при $\phi=-0.09^\circ$, $\psi=0.06^\circ$ и $\Delta_1=0.02$ мм, $\Delta_2=0.016$ мм, $\Delta_3=0.019$ мм, $\Delta_4=0.021$ мм при $\phi=-0.25^\circ$, $\psi=0.2^\circ$

При шлифовании торцов деталей, которые не вращаются при обработке, их перемещают по дугу окружности $R_b=R_a$. Шлифуя торцы крестовин карданных валов, которые фиксировались в призмах, на Черниговском заводе "Агрореммаш" получена минимальная погрешность $\Delta_1 \leq 0.018$ мм при $R_b=R_a$.

Для шлифования торцов твердосплавных пластин 2_{HK} (рис. 1) и 6 (рис. 2) алмазными кругами на металлической связке предложен способ электрохимической правки. При этом ось правящего электрода располагается на радиусе $R_b=R_a$. Расчетная форма образующей круга после правки определяется по методике, приведенной в работе [1]. Образующая круга представляет интегральную кривую, полученную после правки при $R_a \pm \Delta R = R_b$. Где ΔR - половина ширины правящего электрода, имеющего плоский торец.

Внедрение нового способа шлифования на Черниговском заводе "Агрореммаш" при обработке торцов поршневых пальцев повысило производительность в 1,3 раза, геометрическая погрешность Δ_1 уменьшилась в 1,8 раза по сравнению с обработкой плоским торцом круга без вращения детали.

Список использованной литературы:

- 1. Кальченко В.В. Повышение геометрической точности двустороннего шлифования торцов цилиндрических деталей ориентированным инструментом // Резание и инструмент в технологических системах. Межд. научн. техн. сборник. Харьков: ХГПУ, 1997, вып. 51, с. 116-118.
- 2. Кальченко В.В. Заявка на патент Украины N97126463 B24B 5/04, приоритет от 30.12.97 "Способ шлифования торцов цилиндрических деталей".